

# Processamento e Análise de Imagens

# Redes Neurais Artificiais

Felipe Augusto Lima Reis



**PUC Minas**

# Agenda

- 1 Contexto
- 2 Inspiração
- 3 Neurônios Artificiais
- 4 Redes Neurais
- 5 Redes Perceptron
- 6 Treinamento

## CONTEXTO

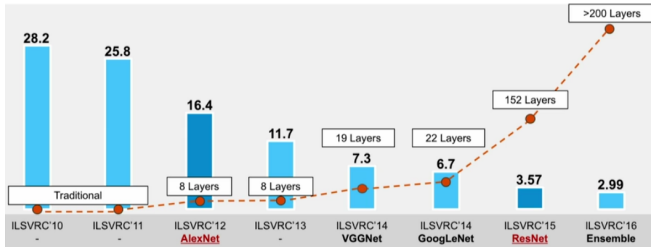


## Contexto

- O crescimento da capacidade das redes neurais nos últimos anos está relacionado aumento do poder computacional, especialmente das GPUs
  - Como veremos no decorrer da disciplina, o treinamento de redes neurais pode ser muito caro computacionalmente;
  - O uso de processamento paralelo, principalmente em GPUs, pode acelerar consideravelmente o aprendizado.

## Contexto

- Nos últimos anos, um dos eventos mais importantes na área de redes neurais foi o desempenho da rede AlexNet na detecção e classificação de objetos no ILSVRC<sup>1</sup> 2012
  - A rede diminuiu o erro das top-5 classes previstas em mais de 10% [Goodfellow et al., 2016] [Krizhevsky et al., 2012].



Fonte: [Sadek Alaoui - SQLML, 2017]

<sup>1</sup> ImageNet Large Scale Visual Recognition Challenge (ILSVRC).

- 7 / 84





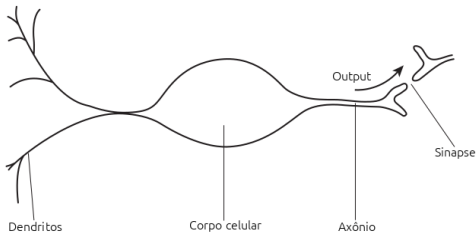
# O que estudaremos de redes neurais?

- O que veremos nesta seção da disciplina:
  - Inspiração para primeiros modelos de redes neurais;
  - Perceptron e Perceptron Multicamadas;
  - Tipos de aprendizado;
  - Redes supervisionadas, não supervisionadas, recorrentes e convolucionais.
- O que não veremos nesta disciplina:
  - Arquiteturas de redes neurais;
  - Regularização;
  - Inicialização de pesos;
  - Otimizadores;
  - Pré-processamento e aumento artificial de dados;
  - ...

# INSPIRAÇÃO BIOLÓGICA

## Neurônios biológicos

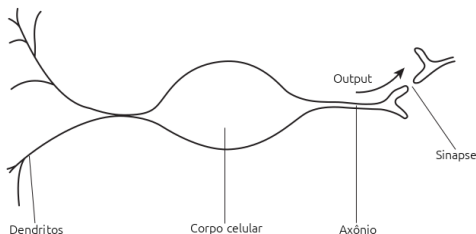
- Neurônios biológicos são células especializadas responsáveis por gerar e transmitir impulsos nervosos, com capacidade para responder a estímulos do meio;
- Seu funcionamento é baseado em alterações na diferença de potencial elétrico em sua membrana [Montanari, 2016];



Fonte: Adaptado de [Coppin, 2004]

# Neurônios biológicos

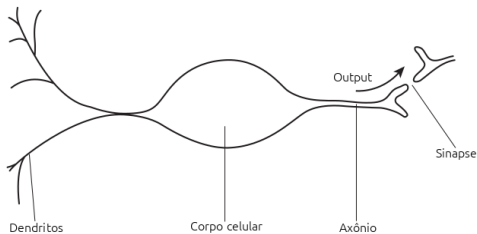
- Os neurônios formam uma rede de conexões capaz de captar informações dos receptores sensoriais, processá-las, originar memórias e/ou sinais apropriados [Montanari, 2016];
- Os locais de comunicação entre dois neurônios, ou entre um neurônio e a célula efetora (célula que responde ativamente a um estímulo), são chamados de sinapses [Montanari, 2016].



Fonte: Adaptado de [Coppin, 2004]

## Neurônios biológicos

- Um neurônio pode ser subdividido nas seguintes partes:
  - **Dendritos**: captam estímulos de outros neurônios ou do meio;
  - **Corpo celular (soma)**: processam estímulos, produzindo um potencial de ativação capaz de disparar um impulso elétrico;
  - **Axônio**: conduz impulsos para outros neurônios conectores ou ligados a um tecido muscular.



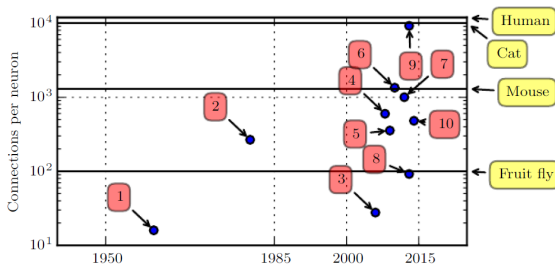
Fonte: Adaptado de [Coppin, 2004]

# Cérebro humano

- Constituído por mais de 10 bilhões de neurônios e cerca de 60 trilhões de sinapses [Coppin, 2004];
- Possui como propriedade a plasticidade:
  - Neurônios podem mudar a natureza e o número de conexões, em resposta a eventos, possibilitando o aprendizado;
  - Ao aprender, teoricamente, o cérebro:
    - Reforça conexões que levam a soluções corretas;
    - Enfraquece conexões que levam a soluções incorretas;
  - A intensidade da sinapse, determina influência sobre os neurônios aos quais está conectado;
  - Caso uma conexão seja enfraquecida, ela terá menor influência em respostas a estímulos [Coppin, 2004].

## Neurônios artificiais

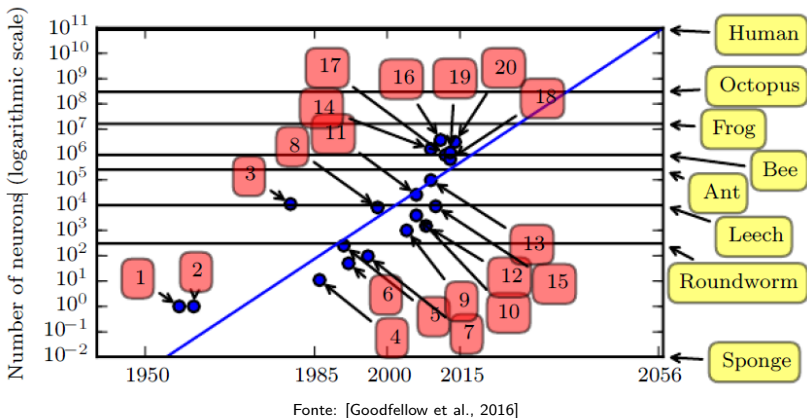
- Inspirados por neurônios e sistemas nervosos biológicos, foram criadas as primeiras redes neurais artificiais;
- Redes neurais artificiais, em geral, são menores e possuem significativamente menos conexões que o cérebro humano.



Fonte: [Goodfellow et al., 2016]

(9) COTS HPC unsupervised convolutional network (Coates et al., 2013)

## Neurônios artificiais

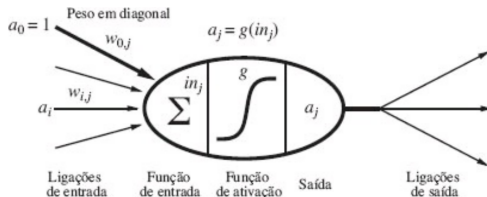


- (1) Perceptron 1 (Rosenblatt, 1958, 1962)  
 (19) COTS HPC unsupervised convolutional network (Coates et al., 2013)  
 (20) GoogLeNet 2 (Szegedy et al., 2014a)



## Neurônios artificiais

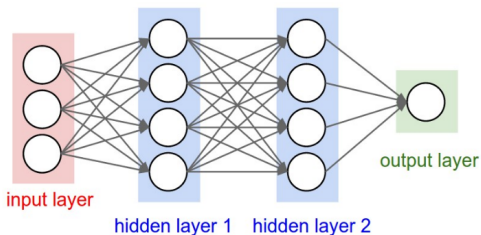
- Neurônios artificiais correspondem a um modelo matemático simples, desenvolvido McCulloch e Pitts, em 1943 [Russel and Norvig, 2013] [Coppin, 2004];
- Eles disparam uma combinação linear de suas entradas quando algum limiar é excedido [Russel and Norvig, 2013].



Fonte: [Russel and Norvig, 2013]

# Redes neurais artificiais

- Uma rede neural é apenas uma coleção de neurônios
  - Suas propriedades são determinadas pela topologia e pelos próprios neurônios [Russel and Norvig, 2013].



Fonte: Adaptado de [Li et al., 2021]

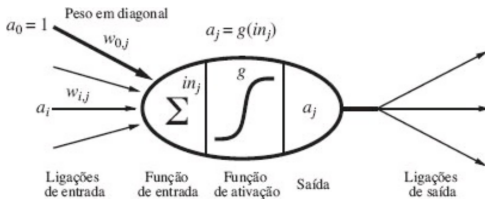
# NEURÔNIOS ARTIFICIAIS

# Neurônios Artificiais

- O modelo de neurônio proposto por McCulloch e Pitts (1943) possui semelhanças com neurônios biológicos [da Silva, 2014]:
  - **Entrada:** sinais  $\{x_1, x_2, \dots, x_n\}$  oriundos do ambiente externo;
  - **Pesos Sinápticos ( $w_i$ ):** utilizado para definição de “importância” ou “relevância” das entradas para o neurônio;
  - **Bias ( $w_b$ ):** entrada extra, utilizada para aumentar o grau de liberdade dos ajustes dos pesos;
  - **Corpo:** soma os produtos das entradas e pesos ( $x_i \times w_i$ ) com o bias ( $w_b$ ) e aplica a função de ativação;
  - **Função de Ativação:** controla o comportamento do sinal da saída  $f(x)$  de um neurônio limitando o intervalo de valores assumidos.

# Funcionamento de um Neurônio Artificial

- Funcionamento de um neurônio:
  - ➊ Cada neurônio possui um sinal de entrada  $x_i$ ;
  - ➋ Esse neurônio  $i$  liga-se a outro neurônio  $j$  e é capaz de propagar um valor de ativação  $x_i$ ;
  - ➌ Cada ligação tem um peso numérico  $w_{i,j}$  associado;



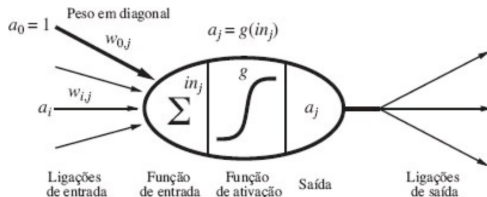
Fonte: [Russel and Norvig, 2013]

Baseado em [da Silva, 2014] e [Russel and Norvig, 2013]

# Funcionamento de um Neurônio Artificial

- Funcionamento de um neurônio:
  - ④ O potencial de ativação de um neurônio é dado pela soma ponderada dos sinais de entrada, somado ao bias ( $w_b$ );

$$in_j = \sum_{i=1}^n (x_i \cdot w_i) + w_b$$



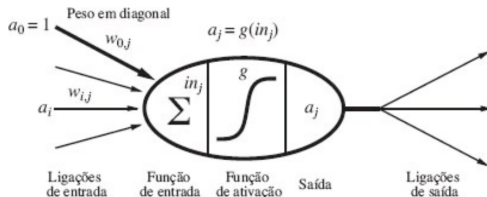
Fonte: [Russel and Norvig, 2013]

Baseado em [da Silva, 2014] e [Russel and Norvig, 2013]

# Funcionamento de um Neurônio Artificial

- Funcionamento de um neurônio:
  - 5 Em seguida, é aplicada uma função de ativação  $g$  a essa soma, com objetivo de limitar o sinal de saída.

$$x_j = g \left( \sum_{i=1}^n (x_i \cdot w_i) + w_b \right)$$

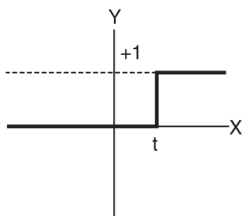


Fonte: [Russel and Norvig, 2013]

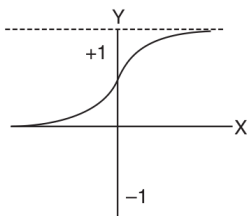
Baseado em [da Silva, 2014] e [Russel and Norvig, 2013]

# Funções de ativação

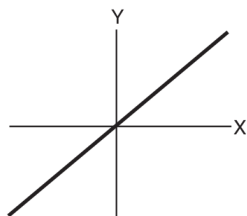
- Funções de ativação são aplicadas sobre o neurônio para limitar ou obter o nível de ativação na saída.



**(a)** Função degrau



**(b)** Função sigmoide



**(c)** Função linear

Fonte: Adaptado de [Coppin, 2004]



# PERCEPTRONS

# Perceptrons

- **Perceptrons** são neurônios simples, propostos por Frank Rosenblatt, em 1958 [Coppin, 2004];
- Esses neurônios são utilizados para classificação de entradas em duas categorias (classificador binário);
  - Indicam se uma entrada pertence a um conjunto ou não;
  - Podem aprender operações booleanas, como AND ou OR;
  - São considerados como um tipo de **classificador linear**;
  - Introduziram o conceito de treinamento de neurônios e/ou redes neurais.

# Perceptrons

- Um Perceptron utiliza uma função degrau (*step*) que retorna +1 se a soma de pesos da entrada  $X$  for maior que um limiar  $t$  e 0 se  $X$  é menor ou igual a  $t$  [Coppin, 2004]

$$Y = \begin{cases} +1 & \text{for } X > t \\ 0 & \text{for } X \leq t \end{cases} \quad \text{Step}(X) = \begin{cases} +1 & \text{for } X > t \\ 0 & \text{for } X \leq t \end{cases}$$

Fonte: [Coppin, 2004]

# Processo de Aprendizado

- Para que um Perceptron possa aprender, primeiramente ele deve passar por uma fase de treinamento [Coppin, 2004];
- Nessa fase, os pesos correspondentes às entradas são ajustados
  - Pesos podem ser considerados como indicadores de importância ou relevância das entradas.

# Processo de Aprendizado

- Para início do aprendizado, pesos aleatórios são definidos (em geral, entre -0.5 e +0.5) [Coppin, 2004];
- Uma entrada é dada ao Perceptron, que produz uma saída
  - A saída do Perceptron é comparada com a saída esperada;
  - Caso a saída seja incorreta, os pesos são ajustados e uma nova tentativa é feita
    - A taxa de ajuste dos pesos é chamada de **taxa de aprendizado**, com valor típico entre 0 e 1;
  - Cada ciclo de ajuste de pesos (tentativa e avaliação de resultados) é chamada de **época**.



# Processo de Aprendizado

- Considere o treinamento<sup>2</sup> de um Perceptron para aprendizado da operação lógica OR.

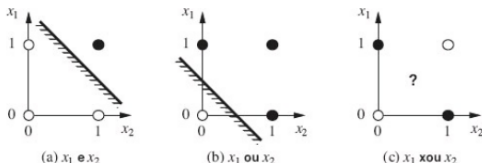
Época	$w_1$	$w_2$	$x_1$	$x_2$	Val. Esperado	Val. Atual	Erro	Ação
1	-0.2	0.4	0	0	0	0	0	-
1	-0.2	0.4	0	1	1	1	0	-
1	-0.2	0.4	1	0	1	0	1	Atual. Pesos
1	<b>0</b>	<b>0.4</b>	1	1	1	1	0	-
2	0	0.4	0	0	0	0	0	-
2	0	0.4	0	1	1	1	0	-
2	0	0.4	1	0	1	0	1	Atual. Pesos
2	<b>0.2</b>	<b>0.4</b>	1	1	1	1	0	-
3	0.2	0.4	0	0	0	0	0	-
3	0.2	0.4	0	1	1	1	0	-
3	0.2	0.4	1	0	1	1	0	-
3	0.2	0.4	1	1	1	1	0	-

Fonte: Adaptado de [Coppin, 2004]

<sup>2</sup>Pesos iniciais aleatórios, intervalo [-0.5, 0.5]. Limiar função degrau:  $t = 0$ . Taxa de aprendizado:  $\eta = 0.2$ .

# Processo de Aprendizado

- Perceptrons são considerados classificadores lineares, ou seja, somente podem aprender modelos linearmente separáveis;
  - Dessa forma, são incapazes de identificar conjuntos que não possam ser divididos por uma reta (ex. operação XOR).



Fonte: [Russel and Norvig, 2013]



# REDES NEURAIS

# Redes Neurais

- Redes neurais são agrupamentos de neurônios artificiais
  - Cada um dos neurônios provê um mecanismo simples de processamento;
  - No contexto de redes, neurônios são chamados de nós.
- Redes podem ser arranjadas em camadas (*layers*)
  - A primeira camada, de entrada de dados, é chamada de **camada de entrada**;
  - As  $m$  camadas intermediárias são chamadas de **camadas intermediárias ou ocultas**;
  - A última camada, de saída da rede, é chamada de **camada de saída**;



# Funcionamento das Redes Neurais

- Funcionamento básico das redes neurais:
  - ① Neurônios na camada de entrada recebem entradas para serem classificadas;
  - ② As entradas causam o disparo de alguns neurônios (retornam valor acima de um determinado limiar, de acordo com a função de ativação);
  - ③ Neurônios das camadas iniciais transmitem o sinal para os neurônios das camadas seguintes;
  - ④ O processo se repete até o final da rede, quando a rede retorna um ou múltiplos valores de saída<sup>3</sup>.

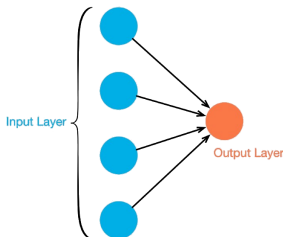
---

<sup>3</sup> Múltiplos valores de saída podem ser utilizados, por exemplo, no processamento de imagens, onde cada saída corresponde a um *pixel* de resultado.

# Classificação das Redes Neurais

- Redes de Camada Única

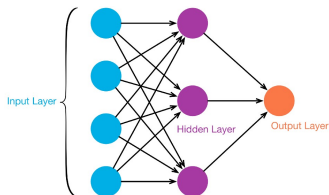
- Extremamente simples, usadas para classificação de padrões e filtragem linear;
- Possuem somente uma camada de entrada e outra de saída;
- O fluxo de informação é unidirecional;
- São exemplos as redes Perceptron e Adaline.



Fonte: [Nahua Kang - Towards Data Science, 2017]

## Classificação das Redes Neurais

- Redes de Múltiplas Camadas
  - Redes mais utilizadas, com múltiplas camadas intermediárias;
  - Utilizadas para classificação de padrões, otimização, robótica, controle de processos, etc.
  - Possuem somente uma camada de entrada,  $m$  camadas intermediárias e uma camada de saída;
  - São exemplos as redes Perceptron Multicamadas (MLP).

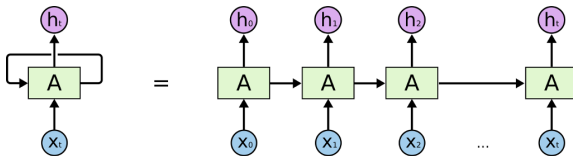


Fonte: [Nahua Kang - Towards Data Science, 2017]

# Classificação das Redes Neurais

- Redes Recorrentes

- Redes com múltiplas camadas intermediárias que realimentam neurônios com valores a partir das saídas;
- Utilizada em séries temporais, otimização e controle de processos dinâmicos;
- Buscam estabilidade de comportamento, de forma a evitar oscilações e comportamentos caóticos;
- São exemplos as Redes de Hopfield e as redes Perceptron Multicamadas com Realimentação.



Fonte: [Matheus Facure, 2017]

# Feed-forward Neural Network

- Uma rede com alimentação para a frente (*feed-forward network*) é aquela que tem conexões somente em uma direção, isto é, forma um grafo acíclico dirigido [Russel and Norvig, 2013];
- Cada nó recebe valores de entrada das camadas anteriores e fornece resultados para nós em camadas subsequentes;
  - Não há laços (*auto-loop*);
- Não possuem estado interno que não sejam os próprios pesos.

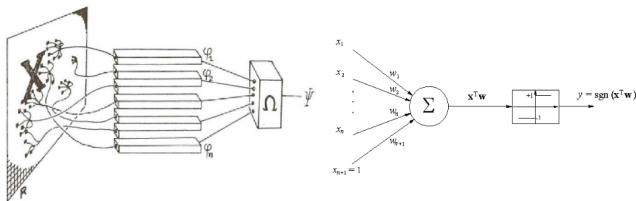


# REDES PERCEPTRON E MULTILAYER PERCEPTRON

# REDES PERCEPTRON

# Redes Perceptron

- As primeiras redes perceptron eram formados por um único neurônio;
- Uma estrutura pré-processava as entradas para, em seguida, entregar os valores ao neurônio [da Silva, 2014];
- A Rede Perceptron pode ser considerada uma rede de camada única com alimentação para frente [Russel and Norvig, 2013].



Fonte: [da Silva, 2014]

- $$w_i \leftarrow w_i + (\eta \times x_i \times e)$$

44 / 84

# Treinamento Redes Perceptron

- O treinamento das redes Perceptron podem ser sumarizados (e expandidos) na seguinte equação:

$$w_j(t+1) = w_j(t) + ((\eta \times x_j^{(i)})(y^{(i)} - \hat{f}(x^{(i)})))$$

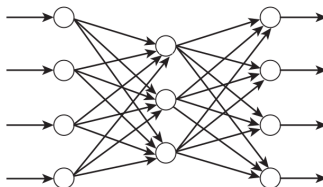
onde

- $w_j(t)$ : peso da  $j$ -ésima conexão de entrada no instante  $t$ ;
- $\eta$ : taxa de aprendizado (*learning rate*);
- $x_j^{(i)}$ : valor do  $j$ -ésimo atributo do vetor de entrada  $x^{(i)}$ ;
- $\hat{f}(a^{(i)})$ : saída produzida pela rede no instante de tempo  $t$  para o vetor  $a^{(i)}$ ;
- $y^{(i)}$ : saída desejada pela rede para o vetor  $a^{(i)}$ ;
- $(y^{(i)} - \hat{f}(a^{(i)}))$ : erro e para uma determinada saída.

# REDES PERCEPTRON MULTICAMADAS (MLP)

# Redes MLP

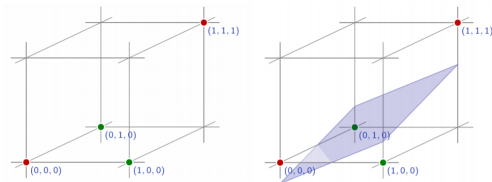
- Redes Perceptron Multicamadas (*Multilayer Perceptron*) correspondem à adição de camadas intermediárias à rede Perceptron;
- As camadas intermediárias possibilitam a representação de funções contínuas (não-linearmente separáveis).



Fonte: [Coppin, 2004]

# Redes MLP

- Redes MLP são capazes de modelar problemas mais complexos que as redes Single-Layer Perceptron;
  - Podem solucionar, por exemplo, a operação lógica XOR;
    - Essa operação pode ser decomposta em função de NAND, OR e NOR, que são linearmente separáveis;
    - Com isso, a operação XOR pode ser aprendida por um perceptron multicamada;

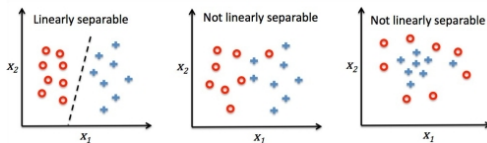


Fonte: Francois Fleuret at EPFL apud [Lee, 2020]



# Redes MLP

- Outras funções que também não são linearmente separáveis podem ser solucionadas por redes MLP.



Fonte: [Raschka, 2015]

# Redes MLP

- A especialização de uma rede MLP de 3 camadas, pode, por exemplo, seguir o seguinte modelo<sup>5</sup>:
  - Camada 1: neurônio aprende a função correspondente a representação de um hiperplano;
  - Camada 2: combina grupos de hiperplanos definidos pela camada anterior, formando regiões convexas;
  - Camada 3: combina conjuntos de regiões convexas em regiões de formato arbitrário.

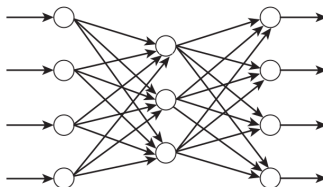
<sup>5</sup> [Faceli et al., 2011] apud [da Silva, 2014]



# TREINAMENTO DE REDES MULTICAMADAS

# Treinamento de Redes MLP

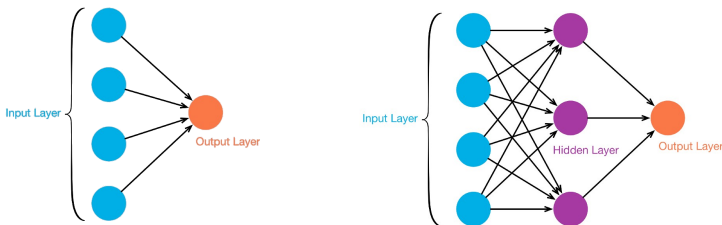
- Apesar das possibilidades de generalização das redes MLP, ninguém sabia como treinar a rede [Russel and Norvig, 2013]
  - Redes de múltiplas camadas possuem múltiplos pesos associados às entradas;
  - O número de pesos a serem ajustados é extremamente alto [Coppin, 2004].



Fonte: [Coppin, 2004]

# Treinamento de Redes MLP

- Em redes de uma camada, o ajuste de pesos de um neurônio não altera o valor de outro
  - No entanto, em redes multicamadas, a alteração de pesos em camadas iniciais impactam diretamente nas camadas finais;
  - Alterar pesos de camadas iniciais significa alterar valores das camadas subsequentes [Russel and Norvig, 2013].



Fonte: [Nahua Kang - Towards Data Science, 2017]

# Treinamento de Redes MLP

- Para solucionar esses problemas, o treinamento da rede é dividido em 2 fases
  - Fase Forward
    - Ativações dos neurônios (valores  $\times$  pesos ativados) são propagadas da entrada para saída;
  - Fase Backward
    - A erro/perda entre o valor produzido pela rede e o valor correto é propagado para trás, a fim de modificar pesos e valores de *bias*;
- As fase de propagação para frente e para trás são dependentes [Zhang et al., 2020].

# Forward Propagation

- O treinamento em redes com alimentação para frente ocorre, tradicionalmente, para frente ao longo da rede;
- Por esse motivo, esta fase é denominada **Forward Propagation** ou **Forward Pass** (propagação para frente) [Zhang et al., 2020] [Goodfellow et al., 2016];
- Na **Fase Forward**, a propagação para frente é utilizada para cálculo dos pesos
  - Cada neurônio computa seus valores e passa a informação para o neurônio seguinte, até a saída da rede;
  - Os valores gerados pela rede são comparados aos valores de treinamento e a diferença entre eles é a perda (erro).



# Backpropagation

- O algoritmo **Backpropagation** (retropropagação) foi desenvolvido por Rumelhart, Hinton & Williams, em 1986 [Goodfellow et al., 2016];
- Esse algoritmo é vastamente utilizado na **Fase Backward**, onde a ordem de cálculo é invertida em relação a fase forward [Zhang et al., 2020];
- O algoritmo permite que informações voltem através da rede, a fim de calcular o gradiente de erro e ajustar os pesos [Goodfellow et al., 2016] [Coppin, 2004].

# BACKPROPAGATION - CONCEITOS

# Backpropagation - Função Sigmoide

- Antes de detalharmos o algoritmo e os cálculos, vamos analisar a função sigmoide:

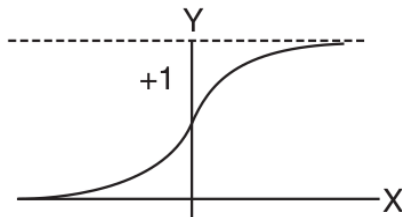
$$\sigma(x) = \frac{1}{1 + e^{-x}}$$

- Sua derivada é dada por:

$$\sigma'(x) = \sigma(x) \cdot (1 - \sigma(x))$$

# Backpropagation - Função Sigmoide

- A função, ainda, é bem comportada, no intervalo entre 0 e 1.



Fonte: Adaptado de [Coppin, 2004]

# Backpropagation - Regra da Cadeia

- Suponha duas funções,  $y = f(x)$  e  $z = g(y)$ ;
- Usando a regra da cadeia, podemos calcular a derivada como:

$$(f \circ g)'(x) = (f(g(x)))' = f'(g(x))g'(x)$$

- Alternativamente, usando  $z$  em relação a  $x$  temos:

$$\frac{\partial z}{\partial x} = \frac{\partial z}{\partial y} \cdot \frac{\partial y}{\partial x}$$

# Backpropagation - Método do Gradiente

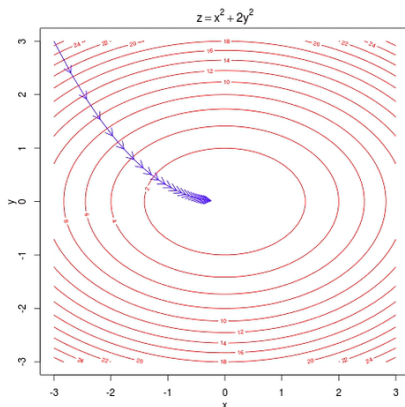
- O **Método do Gradiente**<sup>6</sup> ou Método do Máximo Declive é o método numérico usado para minimização do erro esperado;
- O método busca seguir o caminho mais íngreme na superfície que representa a função de erro, de modo a encontrar o mínimo de erro [Coppin, 2004].

---

<sup>6</sup>Frequentemente utiliza-se o nome em inglês, *Gradient Descent* (GD).

# Backpropagation - Método do Gradiente

- Considere a curva de nível abaixo:
  - O método seguirá o declive máximo da curva em cada trecho.



Fonte: [Hoang Duong - Hoang Duong blog, 2015]

[Link: versão animada do método do gradiente.](#)

## BACKPROPAGATION - PROCESSO

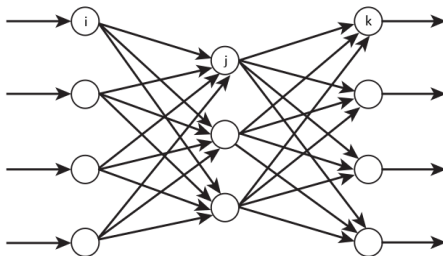


# Backpropagation

- O método percorre a rede em ordem reversa, de acordo com a Regra da Cadeia (Cálculo) [Zhang et al., 2020];
- O algoritmo armazena variáveis intermediárias (derivadas parciais) para cálculo do gradiente [Zhang et al., 2020].
- Para que seja possível calcular o gradiente, a função deve ser contínua e diferenciável em todos os pontos
  - Com isso, a função degrau não pode ser utilizada, uma vez que não é contínua;
  - Outras funções, como a sigmoide e a tangente hiperbólica são utilizadas (em especial, a sigmoide).

# Backpropagation

- Para entender o algoritmo de backpropagation, vamos considerar uma rede neural com 3 camadas;
- Consideremos a notação:  $(i)$  nós de entrada,  $(j)$  nós intermediários e  $(k)$  nós de saída.
- O peso  $w_{ij}$  corresponde a conexão entre nós  $i$  e  $j$ .



Fonte: Adaptado de [Coppin, 2004]

# Backpropagation

- A função usada para derivar a saída do nó  $j$  é dada por:

$$Y_j = \frac{1}{1 + e^{-X}}$$

, sendo

$$X_j = \sum_{i=1}^n x_i \cdot w_{ij} - \theta_j$$

onde

- $n$ : número de entradas do nó  $j$ ;
- $w_{ij}$ : pesos da conexão entre o nó  $i$  e  $j$ ;
- $\theta$ : limiar do nó  $j$  (valor aleatório entre 0 e 1);
- $x_i$ : valor de entrada para o nó de entrada  $i$ ;
- $y_j$ : valor produzido para o nó  $j$ ;

# Backpropagation

- O erro entre o valor gerado pela rede e o valor esperado é dado por:

$$e_k = \frac{1}{2} (d_k - y_k)^2$$

- O gradiente de erro é dado pela fórmula:

$$\delta_k = \frac{\partial y_k}{\partial x_k} \cdot e_k$$

- Onde  $\partial y_k$  corresponde a derivada da sigmoide, gerando:

$$\delta_k = y_k \cdot (1 - y_k) \cdot e_k$$

# Backpropagation

- A derivada do erro para uma camada intermediária é dada por:

$$\delta_j = y_j \cdot (1 - y_j) \sum_{k=1}^n w_{ij} \cdot \delta_k$$

- Esses cálculos produzem:

$$w_{ij} \leftarrow w_{ij} + (\eta \cdot x_i \cdot \delta_j)$$

$$w_{jk} \leftarrow w_{jk} + (\eta \cdot y_j \cdot \delta_k)$$

Onde  $\eta$  corresponde a taxa de aprendizado (*learning rate*).

# Backpropagation

- Sumarizando (1/2)

$$w_{jl}(t+1) = w_{jl}(t) + (\eta \cdot x^j \cdot \delta_l)$$

onde,

- $w_{jl}$ : peso entre neurônio  $l$  e o  $j$ -ésimo atributo de entrada ou a saída do  $j$ -ésimo neurônio da camada anterior;
- $\delta_l$ : erro associado ao  $l$ -ésimo neurônio;
- $x^j$ : entrada recebida pelo  $l$ -ésimo neurônio ( $j$ -ésimo atributo de entrada ou saída do  $j$ -ésimo neurônio da camada anterior);
- $\eta$ : taxa de aprendizado;

Adaptado de [da Silva, 2014]

# Backpropagation

- Sumarizando (2/2)

$$\delta_l = \begin{cases} f'_a e_l & \text{se camada de saída} \\ f'_a \sum w_{kl} \delta_k & \text{se camada intermediária} \end{cases}$$

onde,

- $f'_a$ : derivada parcial da função de ativação do neurônio;
- $e$ : erro cometido pelo neurônio em relação à saída esperada

$$e_l = \frac{1}{2} \sum_{q=1}^k (y_q - \hat{f}_q)^2$$

Adaptado de [da Silva, 2014]

# CÁLCULO DO MÉTODO BACKPROPAGATION <sup>7</sup>

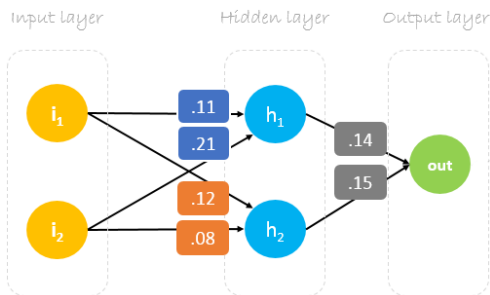
---

<sup>7</sup>Baseado em [Hani M. K., 2019]



## Pesos Iniciais

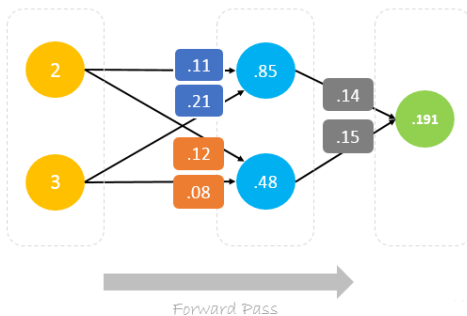
- Exemplo adaptado de [Hani M. K., 2019];
- Vamos considerar uma rede neural de 3 camadas, com os pesos iniciais já definidos.



Fonte: [Hani M. K., 2019]

## Forward Pass

- Consideremos valores iniciais de entrada  $i_1 = 2$  e  $i_2 = 3$ ;
- Consideremos que o valor esperado na saída da rede é  $z = 1$ .



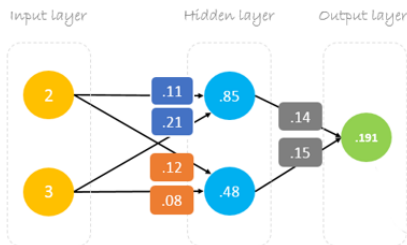
$$\begin{bmatrix} 2 & 3 \end{bmatrix} \cdot \begin{bmatrix} 0.11 & 0.12 \\ 0.21 & 0.08 \end{bmatrix} = \begin{bmatrix} 0.85 & 0.48 \end{bmatrix} \cdot \begin{bmatrix} 0.14 \\ 0.15 \end{bmatrix} = \begin{bmatrix} 0.191 \end{bmatrix}$$

Fonte: [Hani M. K., 2019]

## Cálculo do Erro

- Podemos calcular o erro entre a saída esperada e a saída da rede usando a fórmula:

$$e_l = \frac{1}{2} \sum_{q=1}^k (y_q - \hat{f}_q)^2$$



$$\text{Error} = \frac{1}{2}(0.191 - 1.0)^2 = 0.327$$

Fonte: [Hani M. K., 2019]

# Cálculo da Derivada do Erro

- O erro entre o valor gerado pela rede e o valor esperado, para uma única saída, é dado por:

$$e_k = \frac{1}{2}(d_k - y_k)^2$$

- Podemos calcular a derivada do erro para um nó da rede, fazemos:

$$\delta_l = \frac{\partial e_l}{w_l} = 2 \times \frac{1}{2}(d_k - y_k)$$

# Backward Pass

- Para cálculo do backpropagation, devemos usar a equação:

$$w_{jl}(t + 1) = w_{jl}(t) + (\eta \cdot x^j \cdot \delta_l)$$

onde,

- $w_{jl}$ : peso entre neurônio  $l$  e o  $j$ -ésimo atributo de entrada ou a saída do  $j$ -ésimo neurônio da camada anterior;
- $\delta_l$ : erro associado ao  $l$ -ésimo neurônio;
- $x^j$ : entrada recebida pelo  $l$ -ésimo neurônio ( $j$ -ésimo atributo de entrada ou saída do  $j$ -ésimo neurônio da camada anterior);
- $\eta$ : taxa de aprendizado;

## Backward Pass

- Considerando o erro da saída, temos:

$$\delta_k = (d_k - y_k) = (0.191 - 1) = -0.809$$

- Considerando uma taxa de aprendizado empírica  $\eta = 0.05$ , temos:

$$\begin{bmatrix} w_5 \\ w_6 \end{bmatrix} = \begin{bmatrix} 0.14 \\ 0.15 \end{bmatrix} - 0.05(-0.809) \begin{bmatrix} 0.85 \\ 0.48 \end{bmatrix} = \begin{bmatrix} 0.14 \\ 0.15 \end{bmatrix} - \begin{bmatrix} -0.034 \\ -0.019 \end{bmatrix} = \begin{bmatrix} 0.17 \\ 0.17 \end{bmatrix}$$

$$\begin{bmatrix} w_1 & w_3 \\ w_2 & w_4 \end{bmatrix} = \begin{bmatrix} .11 & .12 \\ .21 & .08 \end{bmatrix} - 0.05(-0.809) \begin{bmatrix} 2 \\ 3 \end{bmatrix} \cdot \begin{bmatrix} 0.14 & 0.15 \end{bmatrix} = \begin{bmatrix} .11 & .12 \\ .21 & .08 \end{bmatrix} - \begin{bmatrix} -0.011 & -0.012 \\ -0.017 & -0.018 \end{bmatrix} = \begin{bmatrix} .12 & .13 \\ .23 & .10 \end{bmatrix}$$

Fonte: [Hani M. K., 2019]



## Critério de Parada

- O algoritmo executa novamente até atingir um critério de parada:
  - Atingir um número pré-determinado de épocas de treinamento;
  - Não melhorar seu desempenho por um determinado número de épocas;
  - Atingir um determinado valor de perda, acurácia, etc.



# Referências I



Antonelli, G. and Neitzel, I. (2015).

Aplicação de redes neurais artificiais na indústria de fios de algodão: Determinação do Índice de fibras imaturas.

Revista Gestão Industrial, 11.



Coppin, B. (2004).

Artificial Intelligence Illuminated.

Jones and Bartlett illuminated series. Jones and Bartlett Publishers, 1 edition.



da Silva, D. M. (2014).

Inteligência Artificial - Slides de Aula.

IFMG - Instituto Federal de Minas Gerais, Campus Formiga.



Faceli, K., Lorena, A. C., Gama, J., and Carvalho, A. C. P. L. F. (2011).

Inteligência Artificial - Uma abordagem de Aprendizado de Máquina.

Editora LTC, 1 edition.



Goodfellow, I., Bengio, Y., and Courville, A. (2016).

Deep Learning.

MIT Press.

<http://www.deeplearningbook.org>.



Google Trends (2020).

Artificial neural network vs artificial intelligence.

[Online]; acessado em 25 de Agosto de 2020. Disponível em: <https://trends.google.com.br/trends/explore?date=2011-09-07%202021-10-07&q=%2Fm%2F05dhw,%2Fm%2F0mkz>.

# Referências II



Hani M. K. (2019).

Backpropagation step by step.

[Online]; acessado em 03 de Setembro de 2020. Disponível em:  
<https://hmkcode.com/ai/backpropagation-step-by-step/>.



Hoang Duong - Hoang Duong blog (2015).

Gradient descent and variants - convergence rate summary.

[Online]; acessado em 03 de Setembro de 2020. Disponível em:  
<http://hduongtrong.github.io/2015/11/23/coordinate-descent/>.



Krizhevsky, A., Sutskever, I., and Hinton, G. E. (2012).

Imagenet classification with deep convolutional neural networks.

In Proceedings of the 25th International Conference on Neural Information Processing Systems - Volume 1, NIPS'12, pages 1097–1105, Red Hook, NY, USA. Curran Associates Inc.



Laurence Goasduff - Gartner (2021).

The 4 trends that prevail on the gartner hype cycle for ai, 2021.

[Online]; acessado em 06 de Outubro de 2021. Disponível em: <https://www.gartner.com/en/articles/the-4-trends-that-prevail-on-the-gartner-hype-cycle-for-ai-2021>.



Lee, S. (2020).

(artificial) neural networks: From perceptron to mlp.

Disponível em: [https://github.com/i-Systems/tutorial/blob/gh-pages/KIM/slides/05\\_ANN.pdf](https://github.com/i-Systems/tutorial/blob/gh-pages/KIM/slides/05_ANN.pdf).

# Referências III



Li, F.-F., Krishna, R., and Xu, D. (2021).  
Convolutional neural networks (cnns / convnets).  
[Online]; acessado em 26 de Janeiro de 2021. Disponível em:  
<https://cs231n.github.io/convolutional-networks/>.



Matheus Facure (2017).  
Redes neurais recorrentes.  
[Online]; acessado em 01 de Setembro de 2020. Disponível em:  
<https://matheusfacure.github.io/2017/09/12/rnn/>.



Montanari, T. (2016).  
Histologia: texto, atlas e roteiro de aulas práticas.  
Ed. da autora, 3 edition.  
Disponível em: <http://www.ufrgs.br/livrodehisto>.



Nahua Kang - Towards Data Science (2017).  
Multi-layer neural networks with sigmoid functionâ deep learning for rookies.  
[Online]; acessado em 01 de Setembro de 2020. Disponível em: <https://towardsdatascience.com/multi-layer-neural-networks-with-sigmoid-function-deep-learning-for-rookies-2-bf464f09eb7f>.



Raschka, S. (2015).  
Python Machine Learning, 1st Edition.  
Packt Publishing, 1 edition.

# Referências IV



Russel, S. and Norvig, P. (2013).

Inteligência artificial.

Campus - Elsevier, 3 edition.



Sadek Alaoui - SQLML (2017).

Convolutional neural network.

[Online]; acessado em 25 de Agosto de 2020. Disponível em:

<http://sqlml.azurewebsites.net/2017/09/12/convolutional-neural-network/>.



Zhang, A., Lipton, Z. C., Li, M., and Smola, A. J. (2020).

Dive into Deep Learning.

<https://d2l.ai>.